

05.4

СТАЦИОНАРНАЯ НОРМАЛЬНАЯ ЗОНА В ОГРАНИЧЕННОМ ОДНОМЕРНОМ СВЕРХПРОВОДНИКЕ

© А.С.Рудый

Одной из проблем, возникающих при эксплуатации сверхпроводящих материалов и приборов на их основе, является тепловое разрушение сверхпроводимости. При достаточно сильном внешнем тепловом воздействии на сверхпроводник с током в сверхпроводнике образуется резистивный домен или область нормальной фазы (зоны). Задачи о динамике резистивного домена и нормальной зоны рассматривались задолго до открытия высокотемпературной сверхпроводимости в связи с тепловым разрушением сверхпроводящего состояния в обмотках сильноточных магнитов [1]. С появлением высокотемпературных сверхпроводников возникла необходимость в исследовании условий образования и устойчивости нормальной зоны в слаботочных сверхпроводящих структурах. В настоящей работе эта задача решается применительно к одномерным и планарным структурам как наиболее распространенным элементам криоэлектроники.

1. Рассмотрим изображенную на рис. 1 сверхпроводящую пленку с переменным током, центральная часть которой находится в нормальном состоянии. Пусть пленка помещена в среду теплообменной жидкости или газа, а вся система, за исключением пленки, имеет температуру ниже критической T_c и находится в состоянии теплового равновесия. Исследуем случай, когда неоднородное температурное поле пленки одномерно. Введем следующие обозначения для отклонения температуры сверхпроводящей пленки от ее равновесного значения: $T_s(x, t)$ — отклонение температуры в сверхпроводящей области, $T_n(x, t)$ — в области нормальной фазы. Учитывая симметрию системы, запишем краевую задачу для определения температурного поля сверхпроводящей S и нормальной N фазы:

$$c_{V_s} \dot{T}_s = \lambda_s T_s'' - 2 \frac{\alpha}{h} T_s,$$

$$c_{V_n} \dot{T}_n = \lambda_n T_n'' + \rho_0 (1 + \beta T_n) \bar{j}^2 - 2 \frac{\alpha}{h} T_n;$$

$$T_s(0, t) = 0; \quad T_n'(x, t) \Big|_{x=\delta} = 0, \quad (1)$$

$$T_s(x_b, t) = T_n(x_b, t) = T_c; \quad \lambda_s T'_s(x, t) \Big|_{x=x_b(t)} = \lambda_n T'_n(x, t) \Big|_{x=x_b(t)}.$$

Здесь c_{V_s} , c_{V_n} , λ_s , λ_n — объемные теплоемкости и теплопроводности сверхпроводящей и нормальной фаз соответственно, ρ_0 — сопротивление нормальной фазы, β — температурный коэффициент сопротивления, \bar{j}^2 — среднее за период значение квадрата плотности тока, α — коэффициент теплоотдачи, h — толщина сверхпроводника, x_b — координата фазовой границы. Последние слагаемые в правых частях уравнений (1) учитывают тепловые потери за счет конвективного теплообмена на поверхности. При этом, ввиду малости h , стандартным образом предполагается, что тепловое сопротивление и температурный градиент в направлении нормали к поверхности отсутствуют.

Выделим в общем решении задачи (1) $T(x, t) = \bar{T}(x) + \dot{T}(x, t)$ стационарную часть $\bar{T}(x)$ и сформулируем краевую задачу по ее определению, которую запишем в безразмерном виде

$$\begin{aligned} \bar{T}_s'' - 2Bi_s \bar{T}_s &= 0, \\ \bar{T}_n'' - k \bar{T}_n + K &= 0, \end{aligned} \quad (2)$$

$$\bar{T}_s(0) = 0; \quad \bar{T}_n' \Big|_{\xi=1} = 0,$$

$$\bar{T}_s(\bar{\xi}_b) = \bar{T}_n(\bar{\xi}_b) = T_c; \quad \lambda_s \bar{T}_s' \Big|_{\xi=\bar{\xi}_b} = \lambda_n T_n' \Big|_{\xi=\bar{\xi}_b},$$

где $\xi = x/\delta$ — нормированная координата, $Bi = \alpha\delta^2/h\lambda$ — критерий Био¹, а $k = 2Bi_n - \beta\rho_0\bar{j}^2\delta^2/\lambda_n$ и $K = \rho_0\bar{j}^2\delta^2/\lambda_n$ — вспомогательные параметры.

Решения задачи (2) зависят от знака параметра k и при положительном значении последнего имеют вид

$$\bar{T}_s(\xi) = \frac{T_c}{\text{sh}\sqrt{2Bi_s}\bar{\xi}_b} \text{sh}\sqrt{2Bi_s}\xi,$$

$$\bar{T}_n(\xi) = T_c \left[\frac{K}{kT_c} - \frac{\lambda_s}{\lambda_n} \sqrt{\frac{2Bi_s}{k}} \frac{\text{cth}\sqrt{2Bi_s}\bar{\xi}_b}{\text{sh}\sqrt{k}(1-\bar{\xi}_b)} \text{ch}\sqrt{k}(1-\xi) \right]. \quad (3)$$

Остановимся подробнее на новом комплексе параметров K/kT_c , появляющемся в решении (3).

¹ Обычно критерием Био называют безразмерный комплекс $\alpha\delta/\lambda$, являющийся мерой отношения внутреннего δ/λ и внешнего $1/\alpha$ тепловых сопротивлений. В данном случае Bi — произведение собственно критерия Био на критерий подобия параметрического вида δ/h .

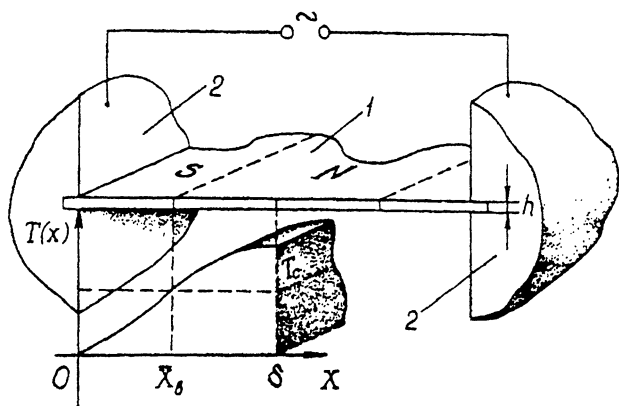


Рис. 1. Сверхпроводящая пленка 1 в цепи источника переменного тока ($\vec{j}^2 = \text{const}$). Температура на концах пленки поддерживается ниже критической термостатом 2, а на свободной поверхности происходит конвективный теплообмен. Показано отклонение температуры пленки в двухфазном состоянии от температуры термостата.

2. Мерой отношения характерной мощности тепловыделения $\vec{j}^2 \rho_0 dV$ к теплоотводу $\alpha(T_c - T_0)dS$ в сверхпроводниках с транспортным током служит безразмерный параметр Стекли σ_0 . В частности, для тонких пленок $\sigma_0 = \vec{j}^2 \rho_0 h / 2\alpha(T_c - T_0)$. Можно показать, что в рассматриваемом случае для классических сверхпроводников выполняется соотношение $K/kT_c = \sigma_0$. Действительно, для типичных значений параметров $\alpha = 250 \text{ Вт/м}^2 \cdot \text{К}$ (охлаждение жидким He), $\delta = 10^{-3} \text{ м}$, $h = 5 \cdot 10^{-7} \text{ м}$, $\lambda = 500 \text{ Вт/м} \cdot \text{К}$, $\rho_0 = 3 \cdot 10^{-10} \text{ Ом} \cdot \text{м}$, $\beta \leq 10^{-6} \text{ К}^{-1}$ имеем $k = 2-6 \cdot 10^{-25} \vec{j}^2$. Очевидно, что плотность тока, при которой второе слагаемое в k сопоставимо с первым, намного превосходит его критическое значение $\sim 10^9 \text{ А} \cdot \text{м}^{-2}$, поэтому вторым слагаемым в k можно пренебречь. Полагая $k = 2Bi_n$ и учитывая, что $T_0 = 0$, получим $K/kT_c = \vec{j}^2 \rho_0 h / 2\alpha T_c = \sigma_0$.

Электрофизические параметры новых сверхпроводников существенно зависят от гомогенности, кислородной стехиометрии и степени упорядоченности кислородной подсистемы [2]. Так, у монокристаллов $\text{YBa}_2\text{Cu}_3\text{O}_{6+x}$ в направлении кристаллографической оси c эти параметры достигают значений $\rho_0 = 10^{-5} \text{ Ом} \cdot \text{м}$, $\beta = -2 \cdot 10^{-2} \text{ К}^{-1}$ [3], в то время как λ_n оказывается на порядок ниже, чем у классических сверхпроводников [4]. При тех же значениях $Bi \approx 1$, поскольку при охлаждении парами азота величина α также снижается на порядок, второе слагаемое в k дает вклад, сопоста-

вимый с перым уже при $\bar{j}^2 \sim 10^{14} \text{ A}^2 \cdot \text{м}^{-4}$. Таким образом, для высокотемпературных сверхпроводников безразмерный комплекс $\sigma \equiv k/kT_c$ играет ту же роль, что и параметр Стекли для классических сверхпроводников, с которым он связан соотношением $\sigma = \sigma_0/(1 - \beta T_c \sigma_0)$.

3. Возвращаясь к решениям задачи (2) и полагая в (3) $\bar{T}_n(\bar{\xi}_b) = T_c$, определим координату фазовой границы. Переходя к введенным выше обозначениям, в частности, сделав замену $k = 2Bi_n \sigma_0 / \sigma$, получим уравнение для вычисления $\bar{\xi}_b$

$$\text{cth} \sqrt{2Bi_n \frac{\sigma_0}{\sigma}} (1 - \bar{\xi}_b) \text{cth} \sqrt{2Bi_n \bar{\xi}_b} = (\sigma - 1) \sqrt{\frac{\lambda_n}{\lambda_s}}. \quad (4)$$

Рассмотрим двухфазное состояние классического сверхпроводника. При $\sigma = \sigma_0$ левая часть уравнения (4), согласно представленному на рис. 2 графику, является глобальной вогнутой функцией $\bar{\xi}_b$, в то время как правая часть от $\bar{\xi}_b$ не зависит. Функция от $\bar{\xi}_b$ достигает минимального значения в точке $\bar{\xi}_b^{\text{min}}$, определяемой условием

$$\sqrt{Bi_n} \text{sh} 2\sqrt{2Bi_n \bar{\xi}_b} = \sqrt{Bi_n} \text{sh} 2\sqrt{2Bi_n} (1 - \bar{\xi}_b). \quad (5)$$

Система уравнений (4), (5), последовательно разрешенная относительно неизвестных $\bar{\xi}_b$ и σ_0 , определяет критическое значение параметра Стекли σ_c , выше которого сверхпроводящее состояние метастабильно. При достаточно сильном возмущении система перейдет в устойчивое двухфазное состояние (3), где последнее выражение с учетом (4) можно заменить на

$$\bar{T}_n(\xi) = T_c \sigma_0 \left[1 + \frac{1 - \sigma_0}{\sigma_0} \frac{\text{ch} \sqrt{2Bi_n} (1 - \xi)}{\text{ch} \sqrt{2Bi_n} (1 - \bar{\xi}_b^m)} \right], \quad m = 1, 2. \quad (6)$$

Индекс m при координате фазовой границы показывает, что при $\sigma > \sigma_c$ имеется два состояния равновесия (рис. 2). Анализ устойчивости этих состояний по первому приближению приводит к громоздким выражениям, исследование которых представляет отдельную задачу. Тем не менее из асимптотики этих выражений следует, что, по крайней мере, при $\bar{\xi}_b = \bar{\xi}_b^{\text{min}} \pm \varepsilon$ оба состояния равновесия локально устойчивы, т. е. рассматриваемая система бистабильна.

Электро- и теплофизические параметры новых сверхпроводников таковы (например, в базовой плоскости монокристаллического $\text{YBa}_2\text{Cu}_3\text{O}_{6+x}$ $\rho_0 = 4 \cdot 10^{-7} - 1.5 \cdot 10^{-6} \text{ Ом} \cdot \text{м}$, $\beta \sim 2 \cdot 10^{-2} \text{ K}^{-1}$, $\lambda_n = 25 \text{ Вт/м} \cdot \text{К}$), что параметр k может

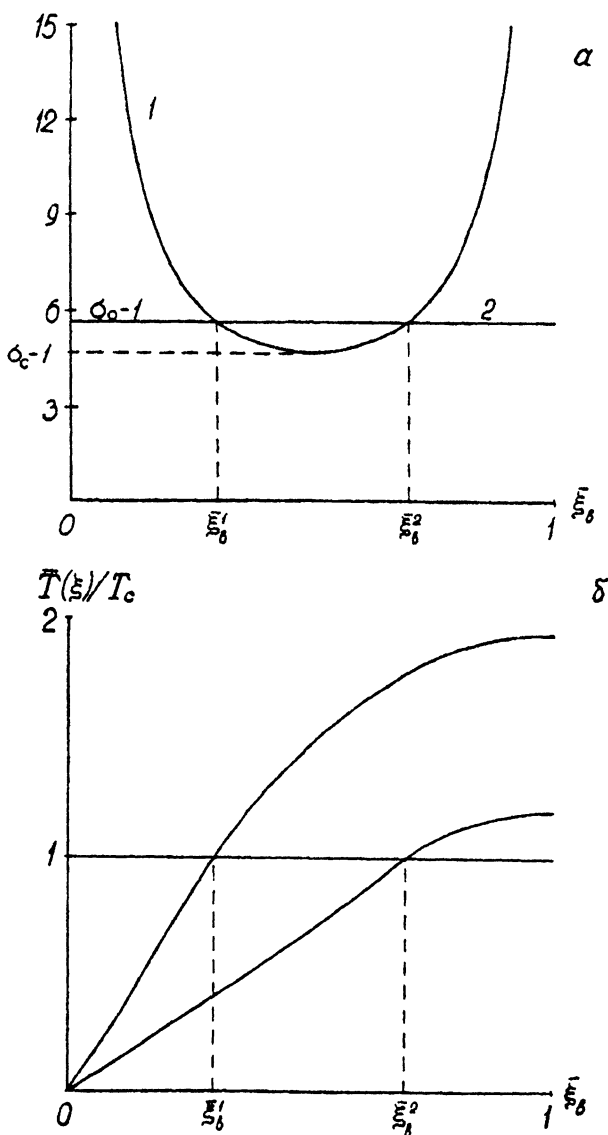


Рис. 2. а — графики левой 1 и правой 2 частей уравнения (4) для случая $\lambda_n = \lambda_s$; $V_{i_n} = V_{i_s} = 1/2$; б — температурное поле двухфазных состояний, соответствующих показанным на рис. 2, а положениям фазовой границы.

принимать отрицательные значения при сравнительно небольшой плотности тока. Если $k < 0$, то решение задачи (2) для нормальной фазы преобразуется в

$$\bar{T}_n(\xi) = T_c |\sigma| \left[\frac{1 + |\sigma| \operatorname{ch} \sqrt{|k|} (1 - \xi)}{|\sigma| \operatorname{ch} \sqrt{|k|} (1 - \bar{\xi}_b^m)} - 1 \right], \quad (7)$$

а $\bar{\xi}_b$ определяется как корень уравнения

$$\sqrt{\frac{|\sigma|}{\sigma_0}} \operatorname{ctg} \left[\sqrt{2Bi_n \frac{\sigma_0}{|\sigma|}} (1 - \bar{\xi}_b) \right] \operatorname{cth} \sqrt{Bi_s \bar{\xi}_b} = (1 + \sigma) \sqrt{\frac{\lambda_n}{\lambda_s}}. \quad (8)$$

Существенно, что левая часть уравнения (8) содержит периодическую функцию $\bar{\xi}_b$ и при больших значениях Bi в системе возможно более двух состояний равновесия.

В заключение рассмотрим случай, когда при увеличении $T_n(\xi)$ рост тепловых потерь за счет конвекции почти полностью компенсируется увеличением тепловыделения, т. е. $k = \pm \varepsilon$, где $\varepsilon \ll 1$. Асимптотика выражений (4), (8) при условии $1/|\sigma| \leq \varepsilon$ имеет вид

$$\frac{\operatorname{cth} \sqrt{Bi_s \bar{\xi}_b}}{\sqrt{2Bi_n (1 - \bar{\xi}_b)}} = \sigma_0 \left(1 \mp \frac{1}{|\sigma|} \right) \sqrt{\frac{\lambda_n}{\lambda_s}}. \quad (9)$$

Полученные результаты легко обобщаются на случай одномерного сверхпроводника, например тонкой нити радиуса r , заменой h на r .

4. Таким образом, при значениях параметра $\sigma > \sigma_c$ сверхпроводящее состояние в одномерных и планарных слаботочных сверхпроводящих структурах метастабильно. При тепловом возмущении система переходит в одно из двухфазных состояний, локально устойчивых в некотором диапазоне изменения σ , играющего роль управляющего параметра. Это свойство рассматриваемой системы может найти применение в пороговых тепловых детекторах и приемниках инфракрасного излучения. Кроме того, полученные результаты позволяют сформулировать задачу о динамике нормальной зоны, в частности о периодических решениях задачи (1). Динамика бистабильной системы с учетом периодических движений может оказаться весьма богатой и перспективной с точки зрения ее практического применения в указанных выше областях.

Список литературы

- [1] Гуревич А.Вл., Минц Р.Г., Разманов А.Л. // Физика композитных сверхпроводников. М.: Наука, 1987. 240 с.
- [2] *Высокотемпературная сверхпроводимость*. Фундаментальные и прикладные исследования / Под ред. А.А. Киселева. Л.: Машиностроение, 1990. В. 1. 686 с.
- [3] Макаренко И.Н., Никифоров Д.В., Быков А.Б. и др. // Письма в ЖЭТФ. 1988. Т. 47. В. 1. С. 52-56.
- [4] *Uher C.* // J. Superconduct. 1990. V. 3. N 4. P. 337-389.

Ярославский государственный
университет

Поступило в Редакцию
19 октября 1996 г.
